

การดูดซับน้ำของแผ่นหนัง และความสัมพันธ์ระหว่าง
ความชื้นในหนังกับคุณสมบัติการพับงอ

นาย ณัชพล เจียรสำราญ

ศูนย์วิทยทรัพยากร จุฬาลงกรณ์มหาวิทยาลัย

วิทยานิพนธ์นี้เป็นส่วนหนึ่งของการศึกษาตามหลักสูตรปริญญาวิศวกรรมศาสตรมหาบัณฑิต
สาขาวิชาชีวกรรมเคมี ภาควิชาชีวกรรมเคมี

คณะวิศวกรรมศาสตร์ จุฬาลงกรณ์มหาวิทยาลัย

ปีการศึกษา 2548

ISBN 974-14-1755-1

ลิขสิทธิ์ของจุฬาลงกรณ์มหาวิทยาลัย

WATER ADSORPTION AND RELATIONSHIP BETEWEEN MOISTURE CONTENT
AND BENDING CHARACTERISTICS OF RAW HIDE

Mr. Nutchapon Chiarasumran

ศูนย์วิทยทรัพยากร
จุฬาลงกรณ์มหาวิทยาลัย

A thesis Submitted in Partial Fulfillment of the Requirements
for the Degree of Master of Engineering Program in Chemical Engineering

Department of Chemical Engineering

Faculty of Engineering

Chulalongkorn University

Academic Year 2005

ISBN 974-14-1755-1

หัวข้อวิทยานิพนธ์ การดูดซับน้ำของแผ่นหัง และความสัมพันธ์ระหว่างความชื้นในหัง
กับคุณสมบัติการพับงอ

โดย นาย ณัชพล เจียรสำราญ
สาขาวิชา วิศวกรรมเคมี

อาจารย์ที่ปรึกษา อาจารย์ ดร.วิทย์ สุนทรนันท์

คณะกรรมการศาสตร์ จุฬาลงกรณ์มหาวิทยาลัย อนุมัติให้นับวิทยานิพนธ์
ฉบับนี้เป็นส่วนหนึ่งของการศึกษาตามหลักสูตรปริญญามหาบัณฑิต

..... คณบดี คณะวิศวกรรมศาสตร์
(ศาสตราจารย์ ดร. ดิเรก ลาวัณย์ศิริ)

คณะกรรมการสอบวิทยานิพนธ์

..... ประธานกรรมการสอบ
(รองศาสตราจารย์ ดร. เดชา ฉัตรศิริเวช)

..... อาจารย์ที่ปรึกษา
(อาจารย์ ดร. วิทย์ สุนทรนันท์)

..... กรรมการ
(ผู้ช่วยศาสตราจารย์ ดร. วิจิตร จงวิศาล)

..... กรรมการ
(รองศาสตราจารย์ ดร. ศิริพร ดำเนรงค์ศักดิ์กุล)

ณัชพล เจียรสำราญ : การดูดซับน้ำของแผ่นหนัง และความสัมพันธ์ระหว่าง
ความชื้นในหนังกับคุณสมบัติการพับงอ (WATER ADSORPTION AND
RELATIONSHIP BETWEEN MOISTURE CONTENT AND BENDING
CHARACTERISTICS OF RAW HIDE)

อ.ที่ปรึกษา : อ. ดร. วิทย์ สุนทรนันท์, 116 หน้า. ISBN : 974-14-1755-1

งานวิจัยนี้ทำการศึกษาเกี่ยวกับพฤติกรรมการดูดซับน้ำเข้าสู่หนัง และผลของความชื้นที่
มีต่อค่าความแข็งของหนัง ซึ่งใช้สำหรับการบ่งชี้คุณสมบัติการพับงอ โดยพัฒนาออกแบบเป็น
แบบจำลองทางคณิตศาสตร์ ซึ่งผลจากการศึกษาพบว่าอัตราการดูดซับน้ำเข้าสู่หนังจะแปรผัน
ตามเวลาและอุณหภูมิตามกฎข้อที่สองของฟิกส์ โดยหนังฟอกจะมีอัตราการดูดซับที่มากที่สุด
รองลงมาเป็นหนังโคและกระเบื้องตามลำดับ ทั้งนี้เป็นผลมาจากการสร้างภายในหนังที่แตกต่าง
กัน และการเปลี่ยนแปลงโครงสร้างอันเป็นผลจากการไฮเดรชัน สำหรับค่าความแข็งของหนังจะ
ขึ้นกับปริมาณความชื้นที่มีในหนัง ณ เวลาหนึ่ง เป็นผลให้หนังกระเบื้องมีค่าความแข็งลดลงช้า
ที่สุด รองลงมาเป็นหนังโคและหนังฟอกตามลำดับ เมื่อนำแบบจำลองทางคณิตศาสตร์ของการ
ดูดซับน้ำผ่านว่าเข้ากับผลการทดลองเรื่องความแข็งกับเวลาในการแช่หนัง ของหนังแต่ละชนิด
สามารถใช้ประโยชน์ในการกำหนดระยะเวลาในการแช่หนังที่เหมาะสมได้

ศูนย์วิทยทรัพยากร จุฬาลงกรณ์มหาวิทยาลัย

ภาควิชา.....วิศวกรรมเคมี.....ลายมือชื่อนิสิต.....
สาขาวิชา.....วิศวกรรมเคมี.....ลายมือชื่ออาจารย์ที่ปรึกษา.....
ปีการศึกษา.....2548.....

4570303221 : MAJOR CHEMICAL ENGINEERING

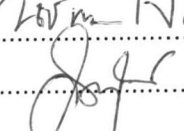
KEYWORDS : ADSORPTION/MOISTURE/BENDING/HIDE

NUTCHAPON CHIARASUMRAN : WATER ADSORPTION AND
RELATIONSHIP BETWEEN MOISTURE CONTENT AND BENDING
CHARACTERISTICS OF RAW HIDE. THESIS ADVISOR : WIT
SOONTARANUN, Ph.D., 116 pp. ISBN : 974-14-1755-1

Water adsorption and effect of moisture content on hardness of raw hide which was used for indicating bending characteristic in this research were studied. It was found that the rate of water adsorption into raw hide was dependent on temperature and time in accordance with Fick's second law. Mathematical model could thus be developed for each type of raw hide. Bleached hide exhibited the highest water adsorption rate while cow hide and buffalo hide absorbed water with lower rate consecutively. This was due to the difference in the nature structure of hide and the change of hide's structure when subjected to hydration. The hardness was found to be dependent on the moisture content in hide. As a result, the hardness of bleached hide decreased at the fastest rate while those of cow hide and buffalo hide decreased slower. By combining water adsorption rate model with strength test data, a suitable time for soaking hide in actual process could be predicted.



Department.....Chemical Engineering.....Student's signature.....

Field of study...Chemical Engineering.....Advisor's signature.....

Academic year.....2005.....

กิตติกรรมประกาศ

**ผู้ทำวิจัยขอรับขอบพระคุณ อาจารย์ ดร. วิทย์ สุนทรนันท์ อาจารย์ที่ปรึกษา
วิทยานิพนธ์ ที่ได้ให้คำปรึกษาแนวทางการทำวิจัยและข้อคิดเห็นในการแก้ไขปัญหา ตลอดจน
ช่วยแก้ไขและปรับปรุงวิทยานิพนธ์ฉบับนี้ให้สำเร็จลุล่วงไปได้อย่างดี**

**ขอขอบพระคุณ คุณ วิกิต ธรรมศักดิ์กุล และบริษัทเวล์เพ็ท อิเดอร์เนชั่นแนล จำกัด
ที่กรุณาเอื้อเฟื้อวัตถุดิบที่ใช้ในการทดลอง รวมไปถึงข้อมูลที่เป็นประโยชน์จากการทางโรงงาน จน
ทำให้วิทยานิพนธ์ฉบับนี้เสร็จสมบูรณ์**

**ขอขอบพระคุณ รองศาสตราจารย์ ดร.เดชา ฉัตรศิริเวช ประธานกรรมการในการสอบ
วิทยานิพนธ์ ผู้ช่วยศาสตราจารย์ ดร. วิจิตรา จงวิศาล และ รองศาสตราจารย์ ดร. ศิริพร ธรรมศักดิ์กุล กรรมการสอบวิทยานิพนธ์ ที่กรุณาให้ข้อคิดเห็นที่เป็นประโยชน์ในการทำวิทยานิพนธ์
ฉบับนี้ให้มีความสมบูรณ์ยิ่งขึ้น**

**ขอขอบคุณห้องปฏิบัติการวิจัยวิศวกรรมเคมีสิ่งแวดล้อมและความปลอดภัย และศูนย์
เครื่องมือวิเคราะห์ ที่เอื้อเพื่อเครื่องมือในการวิเคราะห์ข้อมูล**

**ขอบคุณ พี่ๆ เพื่อนๆ น้องๆ ห้องปฏิบัติการวิจัยวิศวกรรมเคมีสิ่งแวดล้อมและความ
ปลอดภัย ห้องปฏิบัติการวิจัยชีวเคมีที่ให้คำแนะนำงานวิจัยสำเร็จลุล่วงไปด้วยดี**

**สุดท้ายนี้ ผู้ทำวิจัยขอรับขอบพระคุณ บิดา มารดา และขอบคุณทุกคนในครอบครัวที่
เคยเป็นกำลังใจตลอดมาจนกระทั่งงานวิจัยสำเร็จลุล่วงไปด้วยดี**

**ศูนย์วิทยาทรัพยากร
จุฬาลงกรณ์มหาวิทยาลัย**

สารบัญ

บทคัดย่อ(ภาษาไทย)	ง
บทคัดย่อ(ภาษาอังกฤษ)	จ
กิตติกรรมประกาศ	ฉ
สารบัญ	ช
สารบัญตาราง	ญ
สารบัญรูป	ภ
คำอธิบายสัญลักษณ์	ค

บทที่

1. บทนำ	1
1.1 ความเป็นมา	1
1.2 วัตถุประสงค์ของงานวิจัย	2
1.3 ขอบเขตของงานวิจัย	2
1.4 ประโยชน์ที่จะได้รับ	2
2. ทฤษฎีและงานวิจัยที่เกี่ยวข้อง	3
2.1 หนังและโครงสร้างของหนัง	3
2.2 การผลิตอาหารขบเคี้ยวสำหรับสุนัข	6
2.2.1 การเก็บรักษาหนัง	6
2.2.2 การแข็งหนัง	6
2.2.3 การแขวนในต่างและการกำจัดขน	6
2.2.4 การแล่และแบ่งแยกชิ้น	6
2.2.5 การคัดแยกหนัง	7
2.2.6 การแขวนหนัง	7
2.2.7 การม้วนพับ	7
2.2.8 การอบไล่ความชื้น	7
2.2.9 การขึ้นรูป	7
2.2.10 การอบแห้ง	7
2.2.11 การบรรจุถุงและจำหน่าย	7
2.3 ทฤษฎีที่เกี่ยวข้องกับการถ่ายเทมวลสาร (Mass Transfer)	8
2.4 แบบจำลองทางคณิตศาสตร์	10

	หน้า
2.5 งานวิจัยที่เกี่ยวข้อง	13
2.5.1 งานวิจัยที่เกี่ยวข้องกับการดูดซับน้ำของหนัง	13
2.5.2 งานวิจัยที่เกี่ยวข้องกับการพัฒนาสมการทางคณิตศาสตร์	13
2.5.3 งานวิจัยเกี่ยวกับคุณสมบัติทางกลของหนัง	13
3. วิธีดำเนินงานวิจัย	14
3.1 วัสดุที่ใช้	14
3.2 อุปกรณ์ที่ใช้ในการทดลอง	14
3.3 วิธีทดลอง	15
3.3.1 การทดลองเพื่อหาปริมาณความชื้นในหนัง	15
3.3.2 การทดลองเพื่อหาค่าความต้านทานแรงดึงของหนัง	16
3.4 วิธีวิเคราะห์	16
3.4.1 การวิเคราะห์ความชื้นในหนังโดยวิธีการอบ	16
3.4.2 การวัดคุณสมบัติเชิงกลด้วย Durometer Type D	17
4. ผลการทดลองและวิเคราะห์ผล	18
4.1 การดูดซับน้ำของหนังชนิดต่างๆ	18
4.1.1 หนังโค	18
4.1.2 หนังกระเบื้อง	21
4.1.3 หนังฟอก	23
4.2 สมบัติเชิงกลกับสภาวะการแข็งหนัง	28
4.2.1 หนังโค	28
4.2.2 หนังกระเบื้อง	30
4.2.3 หนังฟอก	33
4.3 การพัฒนาแบบจำลองการดูดซับน้ำของหนัง	37
4.3.1 แบบจำลองปริมาณความชื้นที่ถูกดูดซับของหนังโค	40
4.3.2 แบบจำลองปริมาณความชื้นที่ถูกดูดซับของหนังกระเบื้อง	44
4.3.3 แบบจำลองปริมาณความชื้นที่ถูกดูดซับของหนังฟอก	48
4.4 การพัฒนาแบบจำลองความสัมพันธ์สมบัติเชิงกลกับสภาวะการแข็งหนัง	53
4.4.1 แบบจำลองค่าความแข็งของหนังโค	53
4.4.2 แบบจำลองค่าความแข็งหนังกระเบื้อง	57
4.4.3 แบบจำลองค่าความแข็งหนังฟอก	61
5. การประยุกต์ใช้ผลการศึกษา	66

สารบัญตาราง

ตารางที่	หน้า
4.1 แสดงค่า M_t และ %water uptake ที่เวลาต่างๆ ของหนังโโคที่แข็งที่อุณหภูมิ 303, 313 และ 323 K.....	40
4.2 แสดงค่า M_∞ และ W_0 สำหรับหนังโโคที่อุณหภูมิต่างๆ.....	41
4.3 แสดงค่า Least Square และ % Different Error ที่แต่ละอุณหภูมิ สำหรับหนังโโค.....	43
4.4 แสดงค่า M_t และ %water uptake ที่เวลาต่างๆ ของหนังกระเบื้องที่แข็งที่อุณหภูมิ 303, 313 และ 323 K.....	45
4.5 แสดงค่า M_∞ และ W_0 สำหรับหนังกระเบื้องที่อุณหภูมิต่างๆ.....	46
4.6 แสดงค่า Least Square และ % Different Error ที่แต่ละอุณหภูมิ สำหรับหนังกระเบื้อง.....	47
4.7 แสดงค่า M_t และ %water uptake ที่เวลาต่างๆ ของหนังฟอกที่แข็งที่อุณหภูมิ 303, 313 และ 323 K.....	49
4.8 แสดงค่า M_∞ และ W_0 สำหรับหนังฟอกที่อุณหภูมิต่างๆ.....	50
4.9 Least Square และ % Different Error ที่แต่ละอุณหภูมิ สำหรับหนังฟอก.....	51
4.10 แสดงค่า Least Square และ % Different Error ที่แต่ละอุณหภูมิ สำหรับหนังโโค.....	54
4.11 แสดงค่า%water uptake, F จากการทดลองและจากการคำนวณ เมื่อใช้ค่า $A = 0.46$, $B = 38.56$ ที่เวลาและอุณหภูมิต่างๆ ในการแข็งหนังโโค.....	55
4.12 แสดงค่า Least Square และ % Different Error ที่แต่ละอุณหภูมิสำหรับหนังกระเบื้อง.....	58
4.13 แสดงค่า%water uptake, F จากการทดลองและจากการคำนวณ เมื่อใช้ค่า $A = 0.56$, $B = 48.10$ ที่เวลาและอุณหภูมิต่างๆ ในการแข็งหนังกระเบื้อง.....	59
4.14 แสดงค่า Least Square และ % Different Error ที่แต่ละอุณหภูมิสำหรับหนังฟอก.....	62
4.15 แสดงค่า%water uptake, F จากการทดลองและจากการคำนวณ เมื่อใช้ค่า $A = 0.32$, $B = 35.47$ ที่เวลาและอุณหภูมิต่างๆ ในการแข็งหนังฟอก.....	63
5.1 แสดงค่าเวลาที่ใช้แข็งหนังที่อุณหภูมิต่างๆ แบ่งตามประเภทของหนัง ในหน่วยนาที.....	67

สารบัญ

รูปที่		หน้า
2.1	แสดงลักษณะโครงสร้างของเส้นใยคอลลาเจน	3
2.2	ภาพถ่ายทางยาวของกลุ่มเส้นใยคอลลาเจน แสดงให้เห็นถึงการบิดตัวของเส้นใยพื้นฐาน	4
2.3	การเปลี่ยนแปลงค่า tensile strength และ elasticity ที่แต่ละตำแหน่งของหนังลูกวัว	5
2.4	การแบ่งประเภทหนังวัว	5
3.1	อุปกรณ์ทดสอบค่าความแข็ง SHORE Durometer Type D ตามมาตรฐาน ASTM D2240	17
4.1	แผนภูมิแสดงความสัมพันธ์ระหว่างค่าเบอร์เซ็นต์ปริมาณความชื้นที่ถูกดูดซับ (%water uptake) เฉลี่ยเทียบกับเวลา ของการทดลองแซ่หนังโคที่ อุณหภูมิ 303 K	19
4.2	แผนภูมิแสดงความสัมพันธ์ระหว่างค่าเบอร์เซ็นต์ปริมาณความชื้นที่ถูกดูดซับ (%water uptake) เฉลี่ยเทียบกับเวลา ของการทดลองแซ่หนังโคที่ อุณหภูมิ 313 K	19
4.3	แผนภูมิแสดงความสัมพันธ์ระหว่างค่าเบอร์เซ็นต์ปริมาณความชื้นที่ถูกดูดซับ (%water uptake) เฉลี่ยเทียบกับเวลา ของการทดลองแซ่หนังโคที่ อุณหภูมิ 323 K	20
4.4	แผนภูมิแสดงความสัมพันธ์ระหว่างค่าเบอร์เซ็นต์ปริมาณความชื้นที่ถูกดูดซับ (%water uptake) เฉลี่ย ณ เวลาต่างๆ ของการทดลองแซ่หนังโคเทียบกันทั้ง 3 อุณหภูมิ	20
4.5	แผนภูมิแสดงความสัมพันธ์ระหว่างค่าเบอร์เซ็นต์ปริมาณความชื้นที่ถูกดูดซับ (%water uptake) เฉลี่ยเทียบกับเวลาของการทดลองแซ่หนังกระปือที่อุณหภูมิ 303 K	21
4.6	แผนภูมิแสดงความสัมพันธ์ระหว่างค่าเบอร์เซ็นต์ปริมาณความชื้นที่ถูกดูดซับ (%water uptake) เฉลี่ยเทียบกับเวลาของการทดลองแซ่หนังกระปือที่อุณหภูมิ 313 K	22

สารบัญรูป

รูปที่		หน้า
2.1	แสดงลักษณะโครงแสดงลักษณะโครงสร้างของหนัง	3
2.2	ภาพถ่ายทางยาวของกลุ่มเส้นไอลลาเจน แสดงให้เห็นถึงการบิดตัวของเส้นไอนิจูน	4
2.3	การเปลี่ยนแปลงค่า tensile strength และ elasticity ที่แตกต่างตามอุณหภูมิ	5
2.4	การแบ่งประเภทหนังวัว	5
3.1	อุปกรณ์ทดสอบค่าความแข็ง SHORE Durometer Type D ตามมาตรฐาน ASTM D2240	17
4.1	แผนภูมิแสดงความสัมพันธ์ระหว่างค่าเบอร์เซ็นต์ปริมาณความชื้นที่ถูกดูดซับ (%water uptake) เฉลี่ยเทียบกับเวลา ของการทดลองแข็งหันโคที่ อุณหภูมิ 303 K	19
4.2	แผนภูมิแสดงความสัมพันธ์ระหว่างค่าเบอร์เซ็นต์ปริมาณความชื้นที่ถูกดูดซับ (%water uptake) เฉลี่ยเทียบกับเวลา ของการทดลองแข็งหันโคที่ อุณหภูมิ 313 K	19
4.3	แผนภูมิแสดงความสัมพันธ์ระหว่างค่าเบอร์เซ็นต์ปริมาณความชื้นที่ถูกดูดซับ (%water uptake) เฉลี่ยเทียบกับเวลา ของการทดลองแข็งหันโคที่ อุณหภูมิ 323 K	20
4.4	แผนภูมิแสดงความสัมพันธ์ระหว่างค่าเบอร์เซ็นต์ปริมาณความชื้นที่ถูกดูดซับ (%water uptake) เฉลี่ย ณ เวลาต่างๆ ของการทดลองแข็งหันโคเทียบกันทั้ง 3 อุณหภูมิ	20
4.5	แผนภูมิแสดงความสัมพันธ์ระหว่างค่าเบอร์เซ็นต์ปริมาณความชื้นที่ถูกดูดซับ (%water uptake) เฉลี่ยเทียบกับเวลาของการทดลองแข็งหันกระเบื้องที่ อุณหภูมิ 303 K	21
4.6	แผนภูมิแสดงความสัมพันธ์ระหว่างค่าเบอร์เซ็นต์ปริมาณความชื้นที่ถูกดูดซับ (%water uptake) เฉลี่ยเทียบกับเวลาของการทดลองแข็งหันกระเบื้องที่ อุณหภูมิ 313 K	22

รูปที่		หน้า
4.7	แผนภูมิแสดงความสัมพันธ์ระหว่างค่าเบอร์เซ็นต์ปริมาณความชื้นที่ถูกดูดซับ (%water uptake) เฉลี่ยเทียบกับเวลาของการทดลองแซ่หันงกระเบื้องที่อุณหภูมิ 323 K	22
4.8	แผนภูมิแสดงความสัมพันธ์ระหว่างค่าเบอร์เซ็นต์ปริมาณความชื้นที่ถูกดูดซับ (%water uptake) เฉลี่ย ณ เวลาต่างๆ ของการทดลองแซ่หันงกระเบื้องที่อุณหภูมิ 3 อุณหภูมิ	23
4.9	แผนภูมิแสดงความสัมพันธ์ระหว่างค่าเบอร์เซ็นต์ปริมาณความชื้นที่ถูกดูดซับ (%water uptake) เฉลี่ยเทียบกับเวลาของการทดลองแซ่หันงฟอกที่อุณหภูมิ 303 K	24
4.10	แผนภูมิแสดงความสัมพันธ์ระหว่างค่าเบอร์เซ็นต์ปริมาณความชื้นที่ถูกดูดซับ (%water uptake) เฉลี่ยเทียบกับเวลาของการทดลองแซ่หันงฟอกที่อุณหภูมิ 313 K	24
4.11	แผนภูมิแสดงความสัมพันธ์ระหว่างค่าเบอร์เซ็นต์ปริมาณความชื้นที่ถูกดูดซับ (%water uptake) เฉลี่ยเทียบกับเวลาของการทดลองแซ่หันงฟอกที่อุณหภูมิ 323 K	25
4.12	แผนภูมิแสดงความสัมพันธ์ระหว่างค่าเบอร์เซ็นต์ปริมาณความชื้นที่ถูกดูดซับ (%water uptake) เฉลี่ย ณ เวลาต่างๆ ของการทดลองแซ่หันงฟอกเทียบกันทั้ง 3 อุณหภูมิ	25
4.13	แผนภูมิแสดงความสัมพันธ์ระหว่างค่าเบอร์เซ็นต์ปริมาณความชื้นที่ถูกดูดซับ (%water uptake) เฉลี่ย ณ เวลาต่างๆ ของการทดลองแซ่หันง 3 ชนิด ที่ 303 K	26
4.14	แผนภูมิแสดงความสัมพันธ์ระหว่างค่าเบอร์เซ็นต์ปริมาณความชื้นที่ถูกดูดซับ (%water uptake) เฉลี่ย ณ เวลาต่างๆ ของการทดลองแซ่หันง 3 ชนิด ที่ 313 K	27
4.15	แผนภูมิแสดงความสัมพันธ์ระหว่างค่าเบอร์เซ็นต์ปริมาณความชื้นที่ถูกดูดซับ (%water uptake) เฉลี่ย ณ เวลาต่างๆ ของการทดลองแซ่หันง 3 ชนิด ที่ 323 K	27
4.16	แผนภูมิแสดงการเปรียบเทียบระหว่างค่าความแข็งเฉลี่ยเทียบกับเวลา ของการทดลองแซ่หันงโคล ที่อุณหภูมิ 303 K	28
4.17	แผนภูมิแสดงการเปรียบเทียบระหว่างค่าความแข็งเฉลี่ยเทียบกับเวลา ของการทดลองแซ่หันงโคล ที่อุณหภูมิ 313 K	29
4.18	แผนภูมิแสดงการเปรียบเทียบระหว่างค่าความแข็งเฉลี่ยเทียบกับเวลา ของการทดลองแซ่หันงโคล ที่อุณหภูมิ 313 K	29

รูปที่	หน้า
4.19 แผนภูมิแสดงการเปรียบเทียบระหว่างค่าความแข็งเฉลี่ยเทียบกับเวลา ของการทดลองแซ่หันงโคล ที่อุณหภูมิต่างๆ	30
4.20 แผนภูมิแสดงการเปรียบเทียบระหว่างค่าความแข็งเฉลี่ยเทียบกับเวลา ของการทดลองแซ่หันงโกรเบื้อ ที่อุณหภูมิ 303 K	31
4.21 แผนภูมิแสดงการเปรียบเทียบระหว่างค่าความแข็งเฉลี่ยเทียบกับเวลา ของการทดลองแซ่หันงกระเบื้อ ที่อุณหภูมิ 313 K	31
4.22 แผนภูมิแสดงการเปรียบเทียบระหว่างค่าความแข็งเฉลี่ยเทียบกับเวลา ของการทดลองแซ่หันงกระเบื้อ ที่อุณหภูมิ 323 K	32
4.23 แผนภูมิแสดงการเปรียบเทียบระหว่างค่าความแข็งเฉลี่ยเทียบกับเวลา ของการทดลองแซ่หันงกระเบื้อ ที่อุณหภูมิต่างๆ	32
4.24 แผนภูมิแสดงการเปรียบเทียบระหว่างค่าความแข็งเฉลี่ยเทียบกับเวลา ของการทดลองแซ่หันงฟอก ที่อุณหภูมิ 303 K	33
4.25 แผนภูมิแสดงการเปรียบเทียบระหว่างค่าความแข็งเฉลี่ยเทียบกับเวลา ของการทดลองแซ่หันงฟอก ที่อุณหภูมิ 313 K	34
4.26 แผนภูมิแสดงการเปรียบเทียบระหว่างค่าความแข็งเฉลี่ยเทียบกับเวลา ของการทดลองแซ่หันงฟอก ที่อุณหภูมิ 323 K	34
4.27 แผนภูมิแสดงการเปรียบเทียบระหว่างค่าความแข็งเฉลี่ยเทียบกับเวลา ของการทดลองแซ่หันงฟอก ที่อุณหภูมิต่างๆ	35
4.28 แผนภูมิแสดงการเปรียบเทียบระหว่างค่าความแข็งเฉลี่ยเทียบกับเวลา ของการทดลองแซ่หันงโคล, กระเบื้อ และหันงฟอกที่อุณหภูมิ 303 K	36
4.29 แผนภูมิแสดงการเปรียบเทียบระหว่างค่าความแข็งเฉลี่ยเทียบกับเวลา ของการทดลองแซ่หันงโคล, กระเบื้อ และหันงฟอกที่อุณหภูมิ 313 K	36
4.30 แผนภูมิแสดงการเปรียบเทียบระหว่างค่าความแข็งเฉลี่ยเทียบกับเวลา ของการทดลองแซ่หันงโคล, กระเบื้อ และหันงฟอกที่อุณหภูมิ 323 K	37
4.31 แสดงค่า P_s และเส้นแนวโน้มของค่า P_s เทียบกับอุณหภูมิของหันงโคล	42
4.32 แสดงค่าเปรียบเทียบระหว่าง %water uptake ของหันงโคล ที่ได้จากการคำนวณ ด้วยสมการ (4.13) เทียบกับค่าจากการทดลองจริง ที่เวลาและอุณหภูมิต่างๆ	44
4.33 ค่า P_s และเส้นแนวโน้มของค่า P_s เทียบกับอุณหภูมิของหันงกระเบื้อ	46
4.34 แสดงค่าเปรียบเทียบระหว่าง %water uptake ของหันงกระเบื้อ ที่ได้จากการคำนวณ ด้วยสมการ (4.16) เทียบกับค่าจากการทดลองจริง ที่เวลาและอุณหภูมิต่างๆ	48
4.35 ค่า P_s และเส้นแนวโน้มของค่า P_s เทียบกับอุณหภูมิของหันงฟอก	50

หน้า		
รูปที่		
4.36	ค่าเปรียบเทียบระหว่าง %water uptake ของหนังฟอก ที่ได้จากการคำนวณ ด้วยสมการ (4.19) เทียบกับค่าจากการทดลองจริง ที่เวลาและอุณหภูมิต่างๆ.....	52
4.37	แสดงความสัมพันธ์ระหว่างค่า %water uptake ที่ได้จากการทดลองเทียบกับ ค่าความแข็งที่ได้จากการทดลองของหนังโค ที่อุณหภูมิต่างๆ.....	53
4.38	แสดงผลของค่าความแข็งเทียบกับค่า %water uptake ที่ได้จากการที่ 4.11.....	56
4.39	แสดงผลของค่าความแข็งเทียบกับเวลา ที่ได้จากการทดลอง เทียบกับที่ได้จากการ คำนวณด้วยสมการ (4.22).....	57
4.40	แสดงความสัมพันธ์ระหว่างค่า %water uptake ที่ได้จากการทดลองเทียบกับ ค่าความแข็งที่ได้จากการทดลองของหนังกระนือ ที่อุณหภูมิต่างๆ	57
4.41	แสดงผลของค่าความแข็งเทียบกับค่า %water uptake ที่ได้จากการที่ 4.13.....	60
4.42	แสดงค่าความแข็งเทียบกับเวลา ที่ได้จากการทดลอง เทียบกับที่ได้จากการคำนวณ ด้วยสมการ (4.24).....	61
4.43	แสดงความสัมพันธ์ระหว่างค่า %water uptake ที่ได้จากการทดลองเทียบกับ ค่าความแข็งที่ได้จากการทดลองของหนังฟอก ที่อุณหภูมิต่างๆ	61
4.44	แสดงผลของค่าความแข็งเทียบกับค่า %water uptake ที่ได้จากการที่ 4.15.....	64
4.45	ค่าความแข็งเทียบกับเวลา ที่ได้จากการทดลอง เทียบกับที่ได้จากการคำนวณ ด้วยสมการ (4.26).....	65
5.1	กระบวนการผลิตอาหารขบเคี้ยวสำหรับสุนัข ในส่วนของกระดูกผูก	66

ศูนย์วิทยทรัพยากร อุปกรณ์มหावิทยาลัย

คำอธิบายสัญลักษณ์

A	=	สาร A , พื้นที่ผิวน้ำของวัสดุ, ค่าคงที่
B	=	ค่าความแข็งเริ่มต้นของหนัง
C	=	ความเข้มข้นของสารที่ซึมผ่านเข้าไปที่ตำแหน่ง x ณ เวลา t
C_A	=	ความเข้มข้นของสาร A
C_∞	=	ความเข้มข้นของสาร ณ เวลาอีมตัว
d	=	ความหนาของวัสดุ
D	=	สัมประสิทธิ์การแพร่ของมวลสาร (Mass Diffusivity Coeffcient)
D_0	=	ค่า Pre-exponential Factor
E_a	=	ค่า Activation Energy of Diffusion
F	=	ค่าความแข็ง
j_{Ax}	=	อัตราการถ่ายเทสาร A ในทิศ x ต่อพื้นที่
k	=	สัมประสิทธิ์การแพร่ของมวลสาร (Mass Diffusivity Coefficient)
M_t	=	ปริมาณสารที่ถูกดูดซับ ณ เวลา t
M_∞	=	ปริมาณสารที่ถูกดูดซับ ณ เวลาอีมตัว
n_A	=	ผลรวมของอัตราของมวลสาร A ที่วิ่งผ่านพื้นที่หนึ่ง
$P.S.$	=	Percent Saturation
R	=	Gas Constant
t	=	เวลา, เวลาที่สารซึมผ่านเข้าไป
T	=	อุณหภูมิ
v	=	ความเร็วมวลเฉลี่ย
W_0	=	น้ำหนักแห้งของวัสดุ
x	=	ทิศทางตามแนวแกน x , ระยะทางที่สารซึมผ่านเข้าไป, ค่า %water uptake
ρ	=	ความหนาแน่นของระบบถ่ายเทมวลสาร
ρ_A	=	ความหนาแน่นของสาร A
ω_A	=	สัดส่วนของมวล A ในระบบ (Mass fraction of A)
ψ	=	Adsorption Rate